

# افزایش ساخت تروپانآلکالوئیدها و بیان ژن *h6h* در گیاهچه‌های شاهبیزک<sup>۱</sup> در اثر کربوهیدرات‌ها

بهاره وکیلی<sup>۱</sup>، فرح کریمی<sup>۲\*</sup>، مظفر شریفی<sup>۳</sup>، مهرداد بهمنش<sup>۴</sup>

- کارشناس ارشد علوم گیاهی، گروه زیست‌شناسی، دانشکده علوم پایه، دانشگاه شاهد

- استادیار علوم گیاهی، گروه زیست‌شناسی، دانشکده علوم پایه، دانشگاه شاهد

- دانشیار علوم گیاهی، گروه علوم گیاهی، دانشکده علوم زیستی، دانشگاه تربیت مدرس

- دانشیار ژنتیک، گروه ژنتیک، دانشکده علوم زیستی، دانشگاه تربیت مدرس

\*تهران، صندون پستی ۱۵۹-۱۸۱۵۵

fkarimi@shahed.ac.ir

(دریافت مقاله: ۱۴/۱۲/۸۹، پذیرش: ۲۲/۷/۸۹)

**چکیده** - تروپانآلکالوئیدهای هیوسیامین و اسکوپولامین به عنوان داروهای آنتی‌کولینرژیک استفاده‌ی گسترده‌ای دارند. شاهبیزک نیز مانند بیشتر گیاهان تیره سیب‌زمینی، حاوی این دو تروپانآلکالوئید است. در کشت درون‌شیشه‌ای گیاهان تیره سیب‌زمینی، کربوهیدرات‌ها علاوه بر این‌که به عنوان منابع کربن برای تامین انرژی قطعات جداشده به کار می‌روند، به عنوان ملکول‌های سیگنان نیز در سوخت و ساز آکالالوئیدها نقش دارند. در این پژوهش تأثیر کربوهیدرات‌های سوربیتول، مانیتول و سوکروز بر رشد، محتواهی کلروفیل، تولید هیوسیامین و اسکوپولامین و بیان ژن هیوسیامین- $\beta$ -هیدروکسیلاز (*h6h*) در گیاهچه‌های شاهبیزک بررسی شد. تیمار با این کربوهیدرات‌ها رشد گیاهچه‌ها را کاهش داد ولی موجب افزایش محتواهی کلروفیل *a* و همچنین نسبت آن به کلروفیل *b* شد. محتواهی هیوسیامین و اسکوپولامین در گیاهچه‌ها نیز افزایش یافت. این تیمارها سبب افزایش بیان ژن *h6h* در اندام‌های مختلف گیاهچه‌های شاهبیزک نیز شدند. در این مطالعه تغییرات محتواهی اسکوپولامین با تغییرات الگوی بیان ژن *h6h* متناسب بود.

**کلیدواژگان:** اسکوپولامین، هیوسیامین، هیوسیامین- $\beta$ -هیدروکسیلاز، مانیتول، سوربیتول، سوکروز.

1. *Atropa belladonna L.*

پتانسیل اسمزی) استفاده می‌شود. در مواردی مشاهده شده که قطعات جدا کشته در شرایطی که منع کرین دیگری در اختیار نداشته باشد قادرند از قندهایی نظیر مانیتول و سوربیتول به عنوان منع کرین استفاده کنند؛ همچنین مطالعات نشان داده‌اند که کربوهیدرات‌ها علاوه بر این به عنوان مولکول‌های علامت (سیگنال) در سوت و ساز آلکالوئیدها مؤثرند [۱۰].

## ۱-۲- سابقه کاربرد کربوهیدرات‌ها در کشت درون شبشه‌ای گیاهان

همانطور که پیشتر گفته شد تروپان آلکالوئیدهای آتروپین و اسکوپولامین به دلیل فعالیت آنتی‌کولینرژیک به‌طور گسترده در پژوهش استفاده می‌شوند. پیشرفت‌های اخیر در زیست‌فناوری گیاهی و فناوری‌های مهندسی متابولیک به‌ویژه روش‌های کشت سلول و بافت گیاهان ابزاری جدید برای تولید تجاری این ترکیبات دارویی گیاهی فراهم کرده است [۱۱]. در سال ۱۹۹۹ Zabetakis و همکاران، تأثیر محرک‌های متیل جاسمونات، عصاره دیواره سلولی مخمر و الیگو‌گلاکتورونیدها را بر اباستگی تروپان آلکالوئیدهای لیتوئین، هیوسیامین و اسکوپولامین در ریشه‌های مویی گیاه داتورا استرامونیوم بررسی کرده و نتیجه گرفته‌اند که هرسه محرک به ترتیب: الیگو‌گلاکتورونید > محرک فارچی > متیل جاسمونات) موجب افزایش تولید تروپان آلکالوئیدها در ریشه مویی این گیاه می‌شوند [۱۲].

در پژوهشی دیگر در سال ۲۰۰۲، Rothe و همکاران در کشت ریشه *Atropa belladonna* از قندهایی مانند سوربیتول و مانوز که به‌طور معمول به عنوان اوسموتیکوم به کار می‌روند، به عنوان منع کرین استفاده کردند. نتایج این مطالعه نشان داد که این ترکیبات در کنار برخی از فیتوهرمون‌ها، سبب افزایش تولید تروپان آلکالوئیدها به‌ویژه کلیسترین می‌شوند [۱۰].

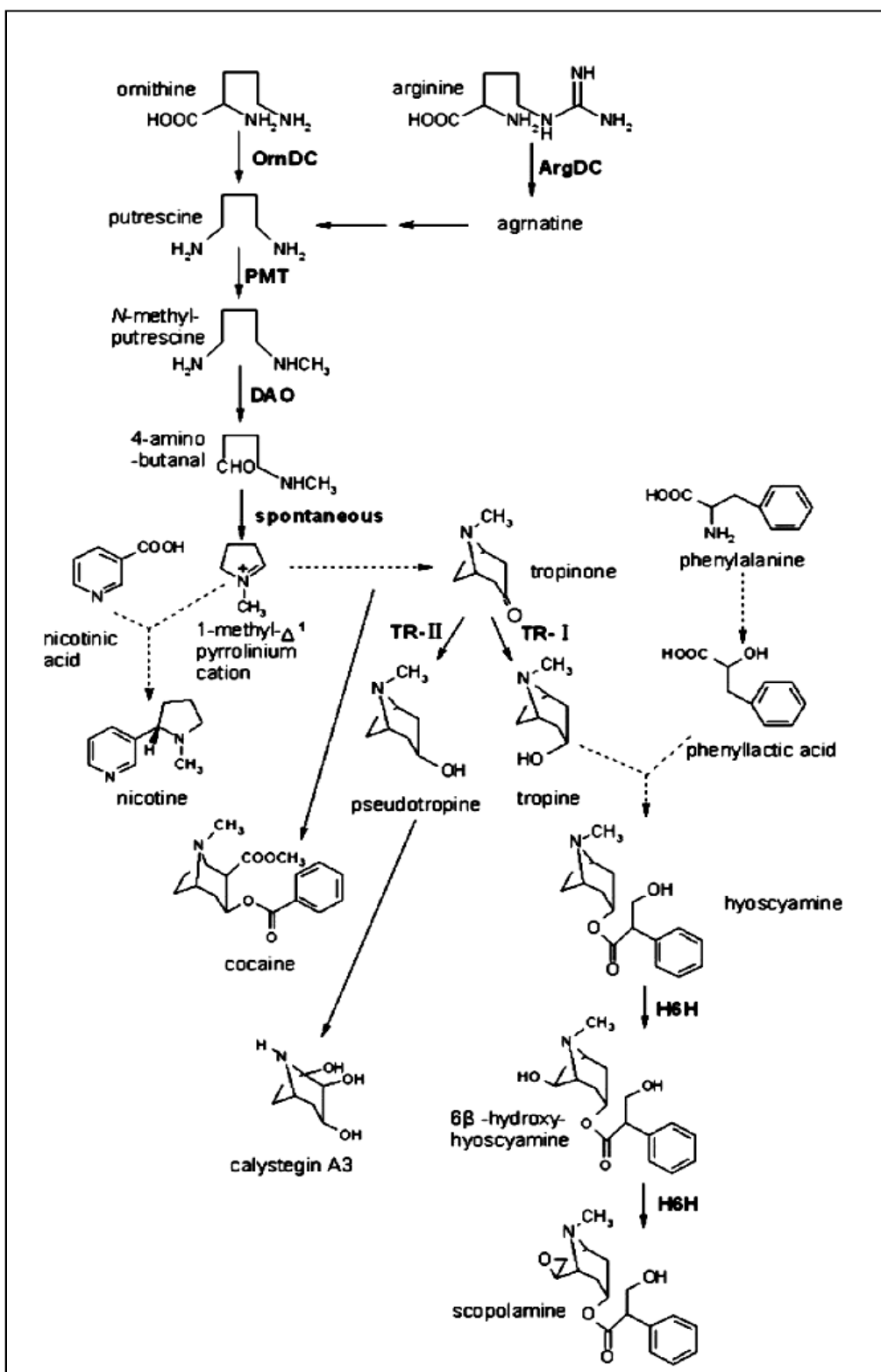
## ۱- مقدمه

تروپان آلکالوئیدهای هیوسیامین و اسکوپولامین که به عنوان داروهای آنتی‌کولینرژیک و مؤثر بر اعصاب پاراسمپاتیک استفاده گسترده دارند، بیشتر در گیاهان خانواده سیب‌زمینی مانند تاتوره (*Datura*), بنگدانه (*Hyoscyamus*) و شاهیزک (*Atropa*) وجود دارند [۱]. در شاهیزک مانند بیشتر گیاهان تیره سیب‌زمینی، هیوسیامین (آتروپین) آلالکالوئید اصلی است؛ در حالی که اسکوپولامین (هیوسین) کمتر تولید می‌شود. اسکوپولامین به خاطر آثار فیزیولوژیک مطلوب‌تر و عوارض جانبی کمتر نسبت به هیوسیامین ارزش دارویی بیشتری دارد و برای مصارف دارویی ترجیح داده می‌شود [۲]. اسکوپولامین و هیوسیامین در ریشه‌های جوان ساخته می‌شوند. مقدار قابل توجهی از این ترکیبات، پس از ساخته شدن در ریشه‌های جوان به بخش‌های هوایی گیاه منتقل و ذخیره می‌شوند [۳]. مراحل بیوستز اسکوپولامین، پیچیده و نیازمند مراحل مختلف آنزیمی است (شکل ۱). انتهای این مسیر بیوستزی، هیوسیامین-6- $\beta$ -هیدروکسیلаз (H6H)، آنزیمی کلیدی در تولید اسکوپولامین است [۴]. این آنزیم با انجام دو اکسیداسیون پی‌درپی (شکل ۲) هیوسیامین را به اسکوپولامین تبدیل می‌کند [۵-۶].

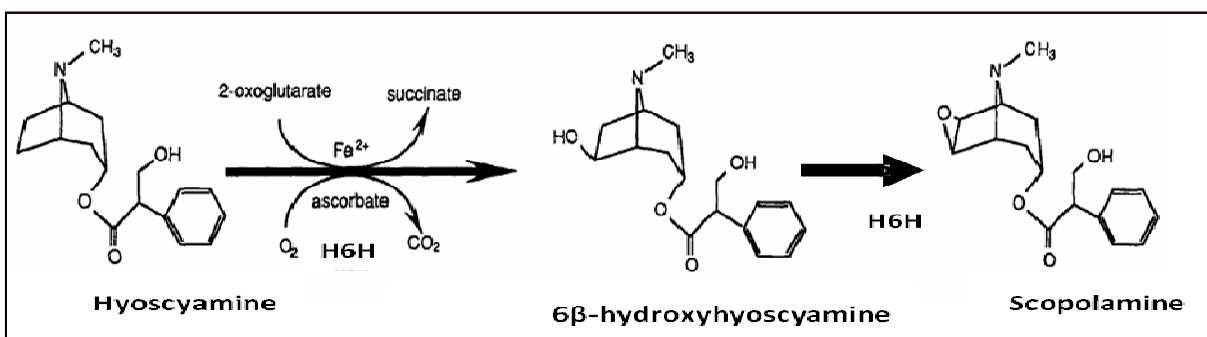
آنزیم H6H از خانواده دی‌اکسیژنازهای وابسته به ۲-اکسو‌گلوتارات است و برای فعالیت خود علاوه بر سوپسترات آلالکالوئیدی به  $^{2+}$ Fe، ۲-اکسو‌گلوتارات،  $O_2$  مولکولی و آسکوربات احتیاج دارد و محل فعالیت آن در لایه دایره محیطیه (pericycle) ریشه شناسایی شده است [۸] و [۹].

## ۱-۱- نقش کربوهیدرات‌ها در رشد گیاهان

در محیط‌های مصنوعی کشت گیاهان معمولاً سوکروز به عنوان منع کرین و انرژی برای رشد بهینه گیاه به کار می‌رود در حالی که از مانیتول و سوربیتول به عنوان اوسموتیکوم (افزایش دهنده



شکل ۱ مسیر بیوستز تروپان آلkalولیدها [V]

شکل ۲ مسیر فعالیت هیوسیامین  $6\beta$ -هیدروکسیلام [۱۳]

جداکشت، دوباره تکثیر اندام هوایی هر دو هفته یکبار انجام شد تا تعداد کافی نوساقه به دست آمد. در مرحله بعد، قطعات جداکشت تک گرده از نوساقه‌ها جدا شدند و در محیط کشت MS حاوی  $1\text{ }\mu\text{M}$  در لیتر IAA و یک میلی گرم در لیتر BA، همراه با غلظت‌های مورد نظر مانیتول، سوربیتول، سوکروز و سوکروز کشت داده شدند. بدین ترتیب هم‌زمان با رشد جوانه‌ها در قطعات جداکشت، نوساقه‌ها ریشه‌دار شدند و تیمارهای مورد نظر نیز اعمال شد. برای اعمال تیمارها غلظت‌های  $50$ ،  $100$  و  $150$  میلی مولار از سوکروز، مانیتول و سوربیتول به محیط‌های کشت بدون قند افزوده شد. در مورد سوکروز علاوه بر سه غلظت بالا غلظت  $87/14$  میلی مولار (معادل محیط کشت MS) یا همان  $30$  میلی گرم در لیتر سوکروز نیز به کار رفت. برای هر یک از غلظت‌ها،  $3$  تکرار به طور مستقل در اتاق رشد با دوره نوری  $16$  ساعت و دوره تاریکی  $8$  ساعت، دمای روز  $25$  درجه سانتی‌گراد و دمای شب  $22$  درجه سانتی‌گراد کشت داده شد. پس از گذشت چهار هفته از رشد گیاهچه‌ها، نتایج بررسی شد

**2-2- بوداشت نمونه‌های گیاهی**  
ریشه‌ها و اندام هوایی گیاهچه‌ها جداگانه جمع آوری شدند. نمونه‌های هر اندام گیاهی پس از توزین به دو

### ۱-۳-۱- اهداف پژوهش

در این پژوهش تاثیر غلظت‌های مختلفی از کربوکسیلات‌های سوربیتول، مانیتول و سوکروز به عنوان نامزدهایی برای تحریک بیوسنتز تروپان آلکالوئیدها و افزایش محتواهی هیوسیامین و اسکوپولامین بررسی و مقایسه شده است؛ از سوی دیگر بیان ژن  $h6h$  در گیاهچه‌های تحت تیمار بررسی شده تا بتوان روند تغییرات محتواهی اسکوپولامین را با تغییرات بیان این ژن مقایسه و تنظیمات حاکم بر تولید اسکوپولامین در گیاه را بررسی کرد

### ۲- مواد و روش‌ها

**۱-۲- کشت و آماده‌سازی نمونه‌های گیاهی**  
بذرهای گیاه شاهبیزک (*Atropa belladonna* L.) از منطقه ساری-گرمانستان با طول جغرافیایی  $14^{\circ}$  و  $36^{\circ}$  شرقی و عرض جغرافیایی  $9^{\circ}$  و  $52^{\circ}$  شمالی جمع آوری و در سایه و دمای اتاق خشک شدند. از کشت بذرها در محیط غذایی پایه Murashige and Skoog (Murashige and Skoog) MS گیاهچه به دست آمد [۱۴]. برای تکثیر گیاهچه‌ها در شرایط درون‌شیشه‌ای، قطعات جداکشت تک گرده از اندام هوایی گیاهچه‌های حاصل از بذر، جدا و به محیط کشت پایه MS حاوی  $30$  میلی گرم در لیتر سوکروز انتقال داده شد. با رشد جوانه‌های قطعات

ایزوکراتیک، حاوی آب، متانول، اسید استیک و تری اتیل آمین ( $15: 5: 0/5$ ) بود. طول موج دستگاه روی  $258\text{ nm}$  تنظیم شد. برای هر تزریق از  $20\text{ }\mu\text{l}$  میکرولیتر عصاره استفاده شد. محتوای دو آلکالوئید هیوسیامین و اسکوپولامین براساس سطح زیر منحنی پیک های حاصل با زمان بازداری مربوط و مقایسه آن با منحنی کالیبراسیون غاظت/ سطح ترکیبات استاندارد، محاسبه شد. از آتروپین سولفات و اسکوپولامین هیدروبروماید (sigma) به عنوان استاندارد، برای رسم منحنی کالیبراسیون استفاده شد و محتوای آلکالوئیدها براساس میلی گرم بر گرم در وزن تر بافت محاسبه شد.

**۵-۲- سنجش کلروفیل در برگ گیاهچه‌ها**  
 $0/05$  گرم از برگ گیاه با استون  $80\%$  در هاون چینی به خوبی ساییده و از کاغذ صافی واتمن شماره ۱ عبور داده شد. حجم نهایی استون مصرف شده  $5\text{ ml}$  لیتر بود. در انتهای دانسیتهٔ نوری (D) عصاره به دست آمده در طول موج‌های  $645$  و  $663\text{ nm}$  به وسیله اسپکتروفوتومتر خوانده شد و محتوای کلروفیل a و b نمونه‌ها با استفاده از فرمول‌های زیر به دست آمد؛ سپس بر حسب میلی گرم بر گرم وزن تر برگ محاسبه شد [۱۵].

$$a = [12.7(D645) - 2.6(D663)] / [12.7(D645) - 2.6(D663)]$$

$$b = [22.9(D645) - 4.68(D663)] / [22.9(D645) - 4.68(D663)]$$

**۶- آنالیزهای مولکولی**  
**۶-۱- استخراج ریبونوکلئیک اسید تام**  
 $0/5$  گرم از بافت گیاهی با نیتروژن مایع به خوبی ساییده و ریبونوکلئیک اسید تام به وسیلهٔ KnauerGmbH Germany HPLC و ستون  $5\mu\text{m C18} (125 \times 4\text{ mm ID})$  استفاده شد. سرعت جریان حلال،  $1/1\text{ ml/liter}$  در دقیقه و فاز متحرک

بخش تقسیم شدند. بخش اول برای مطالعات مولکولی، فوری به وسیلهٔ نیتروژن مایع ثابت و در  ${}^{\circ}\text{C} 80$ - نگهداری شد و بخش دوم برای اندازه‌گیری محتوای کلروفیل و تروپان آلکالوئیدها به  ${}^{\circ}\text{C} 20$ - منتقل شد.

**۳-۲- استخراج آلکالوئید قام**  
یک گرم از بافت گیاهی (ریشه یا اندام هوایی) با نیتروژن مایع به خوبی ساییده و با  $50\text{ ml/liter}$  متانول  $96\%$  درصد مخلوط و  $20\text{ }^{\circ}\text{C}$  ساعت روی لرزانندهٔ عصاره‌گیری شد. تفاله‌های بافت با کاغذ صافی (واتمن ۱) جدا و عصاره حاصل به وسیلهٔ دستگاه تبخیر در خلا خشک شد. به بقایای عصاره خشک شده،  $100\text{ ml/liter}$  از مخلوط حاصل از مقادیر مساوی اسید سولفوریک  $5\text{ dr. grad (v/v)}$  و دی اتیل اتر اضافه ( $1:1$ ) و به خوبی مخلوط شد. پس از جداسازی اتر به وسیلهٔ دکانتور،  $\text{pH}$  فاز آبی (حاوی  $10\text{ N NaOH}$  با  $10\text{ ml/liter}$  کلروفرم در سه مرحله  $(40+40+30)$ ) به آن اضافه شد و هر بار فاز کلروفرمی جدا و به یکدیگر خشک شد. بقایای خشک شده عصاره در  $200\text{ ml/liter}$  HPLC در  ${}^{\circ}\text{C} 20$ - درجه سانتی گراد نگهداری شد. مراحل عصاره‌گیری برای هر نمونه سه بار جداگانه تکرار شد.

**۴- سنجش آلکالوئیدها با HPLC**  
برای سنجش آلکالوئیدها از روش (1986) Lau-Cam Roos استفاده شد [۱۹]. از دستگاه KnauerGmbH Germany HPLC و ستون  $5\mu\text{m C18} (125 \times 4\text{ mm ID})$  استفاده شد. سرعت جریان حلال،  $1/1\text{ ml/liter}$  در دقیقه و فاز متحرک

سانتی گراد) انجام شد. سپس با استفاده از ۵ میکرولیتر از هر یک از محصولات PCR و نشانگر وزن مولکولی (1Kb)، به طور جداگانه الکتروفورز همراه ۱ میکرولیتر loading buffer درون چاهک‌های ژل آگارز (۱ درصد) انجام شد.

### ۳- یافته‌ها

#### ۱-۳- تأثیر تیمارها بر بعضی پارامترهای رشد گیاهچه‌ها

مقایسه طول و وزن تر اندام هوایی و ریشه تحت تأثیر غلظت‌های مختلف کربوهیدرات‌ها به ترتیب در نمودارهای ۱ و ۲ نشان داده شده است. طبق یافته‌های این پژوهش، طول اندام هوایی و ریشه و همچنین وزن تر آن‌ها در محیط پایه ( $87/64 \text{ mM}$  یا  $30 \text{ mg/L}$  سوکروز) نسبت به سایر غلظت‌های سوکروز و همچنین نسبت به غلظت‌های مختلف مانیتول و سوربیتول به طور معنی‌داری بیشتر بود؛ در حالی‌که با افزایش یا کاهش غلظت سوکروز نیز طول گیاهچه‌ها و همچنین وزن تر آن‌ها کاهش یافت (نمودار C-۱). استفاده از سوربیتول و مانیتول به جای سوکروز در محیط کشت، طول اندام هوایی و ریشه گیاهچه‌ها را به خصوص در غلظت‌های بالا به شدت کاهش داد؛ به طوری‌که در بالاترین غلظت سوربیتول و مانیتول (۱۵۰ میلی‌مولار) ریشه تشکیل نشد (نمودار ۱a و b). وزن تر اندام هوایی و ریشه با افزایش غلظت سوربیتول و مانیتول کاهش یافت. بیشترین کاهش رشد طولی در غلظت‌های ۱۵۰ میلی‌مولار از هر سه کربوهیدرات مشاهده شد و رشد طولی گیاهچه‌ها به ترتیب در سوکروز بیشتر از سوربیتول و در سوربیتول بیش از مانیتول بود. از نظر وزنی نیز محیط MS پایه مناسب‌ترین محیط برای رشد ریشه و اندام هوایی بود ولی بین وزن تر اندام هوایی و ریشه در

ژل آگارز و اسپکتروفتو متر بررسی شد و برای هر تیمار دو بار استخراج RNA انجام شد و از هریک دو بار-RT-PCR بعمل آمد.

### ۲-۶-۲- ساخت<sup>۱</sup> cDNA و RT-PCR

برای بررسی الگوی بیان ژن *h6h* در اندام هوایی و ریشه گیاهچه‌های شاهبیزک تحت تأثیر تیمارهای انجام شده، روش RT-PCR نیمه کمی با استفاده از ژن خانه‌دار (housekeeping) (توبولین به عنوان استاندارد خارجی) و به صورت جداگانه به کار رفت. به این منظور، رشته اول از ۵ میکروگرم از RNA کل به وسیله‌ی پرایمر dNTP-PCR oligo-d(T) با بافر PCR ساخته شد. رشته اول ddH<sub>2</sub>O Taq-DNA polymerase MgCl<sub>2</sub> cDNA و پرایمرهای اختصاصی ژن *h6h* با استفاده از توالی ارائه شده به وسیله‌ی سوزوکی و همکاران (۱۹۹۹) انجام شد [۲۰]:

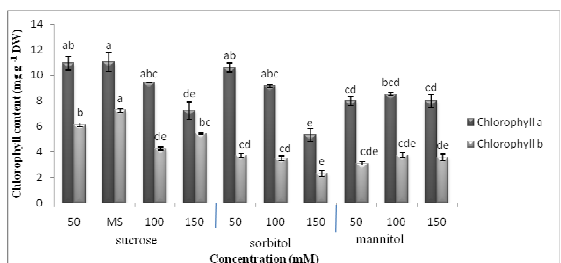
F:5'-CACTTGGCTCATGGTTGTCA-3'  
R:5'CCATCATAGTGTCCCT GAACC-3'

آغازگرها به وسیله شرکت Bioneer کرده و با درجه خلوص High Purified Salt Free (HPSF) به صورت لیوفیلیزه ساخته شدند. طول قطعه حاصل از تکثیر ژن *h6h* به وسیله‌ی آغازگر اختصاصی آن، ۲۷۰ جفت باز بود. تکثیر ناحیه مورد نظر با دستگاه ترمال‌سایکلر [PeQSTAR] و با شرایط و اسرشته‌سازی اولیه به مدت ۲ دقیقه (۹۴ درجه سانتی گراد)، و اسرشته‌سازی به مدت ۴۵ ثانیه (۹۴ درجه سانتی گراد)، دمای اتصال به مدت ۴۵ ثانیه (۵۲ درجه سانتی گراد)، تکثیر به مدت ۵۰ ثانیه (۷۲ درجه سانتی گراد)، تکثیر نهایی به مدت ۱۰ دقیقه (۷۲ درجه

1. synthesis

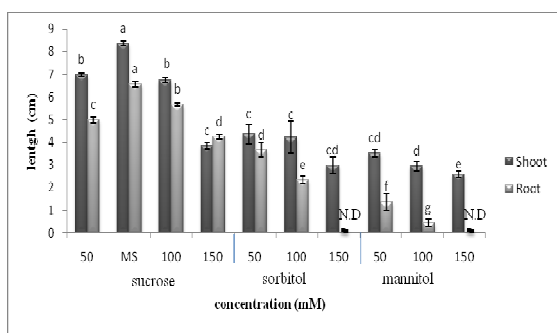
به یکدیگر نداشت ولی در غلظت ۱۵۰ میلی‌مولار کاهش معنی‌داری یافت. محتوای کلروفیل b در این تیمار در محیط پایه MS بیشترین مقدار و در غلظت ۱۰۰ میلی‌مولار سوکروز کمترین مقدار را نشان داد. در تیمار با سوربیتول بین محتوای کلروفیل a و b در غلظت‌های ۵۰ و ۱۰۰ میلی‌مولار تفاوت معنی‌داری مشاهده نشد ولی در ۱۵۰ میلی‌مولار سوربیتول کاهش معنی‌داری نشان داد. تفاوت معنی‌داری بین محتوای کلروفیل a و b در غلظت‌های ۵۰، ۱۰۰ و ۱۵۰ میلی‌مولار مشاهده نشد. بین غلظت‌های ۵۰، ۱۰۰ و ۱۵۰ میلی‌مولار سوکروز و سوربیتول تفاوت معنی‌داری از نظر محتوای کلروفیل a وجود نداشت؛ ولی در غلظت ۵۰ میلی‌مولار مانیتول محتوای کلروفیل a کمتر از همین غلظت از سوکروز و سوربیتول بود. همچنین محتوای کلروفیل a در غلظت ۱۵۰ میلی‌مولار سوربیتول به طور معنی‌داری کمتر از محتوای آن در همین غلظت از مانیتول بود.

بیشترین مقدار کلروفیل b در محیط کشت پایه MS مشاهده شد و در مجموع، محتوای کلروفیل b در غلظت‌های ۱۰۰ و ۱۵۰ میلی‌مولار سوکروز بیشتر از محتوای آن در همین غلظت‌ها از سوربیتول و مانیتول بود. بین محتوای کلروفیل b در غلظت‌های مختلف مانیتول و با همان غلظت‌ها از سوربیتول تفاوت معنی‌داری مشاهده نشد (نمودار ۳).

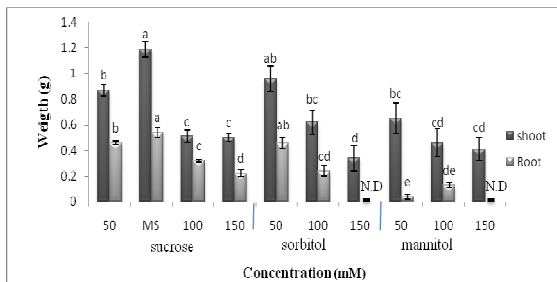


نمودار ۳ مقایسه محتوای کلروفیل a و b برگ گیاهچه‌های شاییزک تحت تاثیر غلظت‌های مختلف سوکروز، سوربیتول و مانیتول (حروف متفاوت نشان دهنده تفاوت معنی‌داری در سطح  $p \leq 0.05$  می‌باشد).

این محیط با تیمار ۵۰ mM سوربیتول تفاوت معنی‌داری مشاهده نشد. افزایش غلظت هر سه کربوهیدرات موجب کاهش وزن تر اندام هوایی و ریشه گیاهچه‌ها شد. در غلظت ۱۵۰ mM سوربیتول و مانیتول ریشه تشکیل نشد.



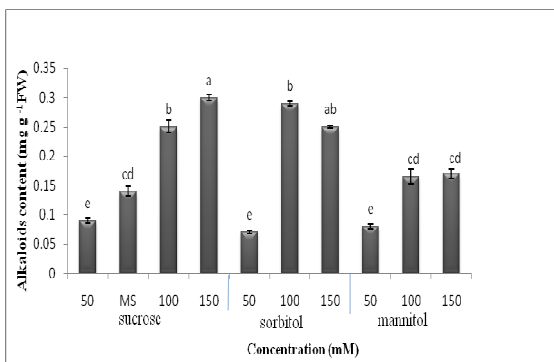
نمودار ۱ مقایسه طول اندام هوایی و ریشه در گیاهچه‌های شاییزک تحت تاثیر غلظت‌های مختلف سوکروز، سوربیتول و مانیتول (حروف متفاوت برای هر اندام نشان دهنده تفاوت معنی‌دار در سطح  $p \leq 0.05$  می‌باشد).



نمودار ۲ مقایسه وزن تر اندام هوایی و ریشه در گیاهچه‌های شاییزک تحت تاثیر غلظت‌های مختلف سوکروز، سوربیتول و مانیتول (حروف متفاوت برای هر اندام نشان دهنده تفاوت معنی‌دار در سطح  $p \leq 0.05$  می‌باشد).

### ۲-۳- تأثیر تیمارها بر محتوای کلروفیل a و b در گیاهچه‌ها

در تیمار سوکروز محتوای کلروفیل a در غلظت‌های ۵۰ میلی‌مولار، MS و ۱۰۰ میلی‌مولار تفاوت معنی‌داری نسبت



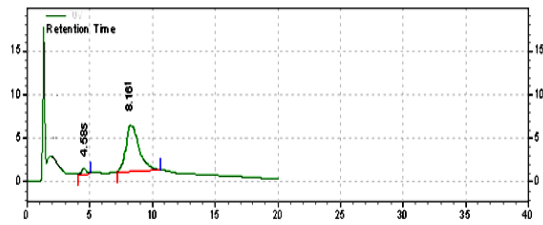
نمودار ۶ مقایسه محتوای اسکوپولامین ( $\text{mg g}^{-1}$  F. W) در اندام هوایی گیاهچه شاییزک تحت تاثیر غلظت‌های مختلف سوکروز، سوربیتول و مانیتول (حروف متفاوت نشان دهنده تفاوت معنی دار در سطح  $p \leq 0.05$  می‌باشد).

در گیاهچه‌های تیمار یافته با سوربیتول در اندام هوایی، محتوای هیوسیامین و اسکوپولامین در غلظت‌های ۱۰۰ و ۱۵۰ میلی‌مولار افزایش معنی‌داری نسبت به گیاهچه‌های تیمار یافته با غلظت ۵۰ میلی‌مولار نشان داد ولی بین این دو غلظت تفاوت معنی‌داری در محتوای آلکالوئیدها مشاهده نشد (نمودار های ۵ و ۶). همچنین با افزایش غلظت سوربیتول، نسبت اسکوپولامین به هیوسیامین افزایش یافت و بالاترین حد این نسبت در غلظت ۱۵۰ میلی‌مولار مشاهده شد (نمودار ۹). در ریشه، محتوای هیوسیامین در غلظت ۱۰۰ میلی‌مولار سورکروز نسبت به سایر غلظت‌ها افزایش معنی‌داری نشان داد (نمودار ۷). همین روند در محتوای اسکوپولامین نیز مشاهده شد (نمودار ۸).

تحت تاثیر تیمار مانیتول، محتوای هیوسیامین در غلظت ۱۰۰ میلی‌مولار در اندام هوایی و ریشه افزایش معنی‌داری نسبت به سایر غلظت‌ها نشان داد (نمودار های ۵ و ۷). محتوای اسکوپولامین در اندام هوایی و ریشه در

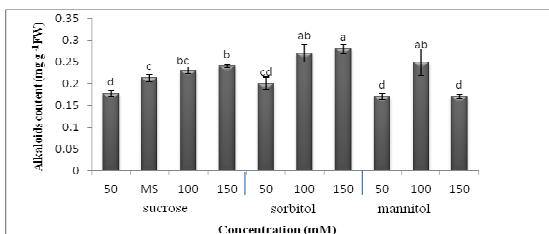
### ۳-۳- مقایسه آلکالوئیدهای تولید شده تحت تأثیر تیمارهای مختلف

زمان بازداری هیوسیامین (آتروپین) و اسکوپولامین (هیوسین) با استفاده از کروماتوگرام HPLC استانداردهای هیوسیامین و اسکوپولامین به ترتیب  $4/5 \pm 0/5$  و  $8/5 \pm 0/5$  به دست آمد (نمودار ۴).

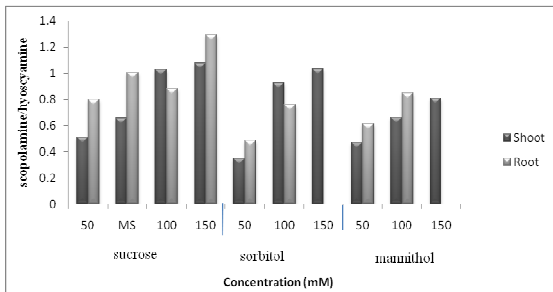


نمودار ۴ کروماتوگرام HPLC استانداردهای آتروپین ( $RT = 4.5 \pm 0.5$ ) و اسکوپولامین ( $RT = 8.5 \pm 0.5$ )

در اندام هوایی گیاهچه‌های تیمار یافته با سورکروز، محتوای هیوسیامین و اسکوپولامین با افزایش غلظت کربوهیدرات افزایش معنی‌داری نشان داد (نمودار های ۵ و ۶). همچنین با افزایش غلظت سورکروز در اندام هوایی، نسبت اسکوپولامین به هیوسیامین افزایش یافت و بالاترین حد این نسبت در غلظت ۱۵۰ میلی‌مولار مشاهده شد (نمودار ۹). در ریشه، محتوای هیوسیامین در غلظت ۱۰۰ میلی‌مولار سورکروز نسبت به سایر غلظت‌ها افزایش معنی‌داری نشان داد (نمودار ۷). همین روند در محتوای اسکوپولامین نیز مشاهده شد (نمودار ۸).



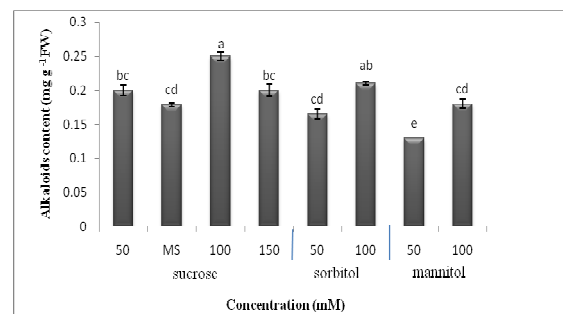
نمودار ۵ مقایسه محتوای هیوسیامین ( $\text{mg g}^{-1}$  F. W) در اندام هوایی گیاهچه شاییزک تحت تاثیر غلظت‌های مختلف سورکروز، سوربیتول و مانیتول (حروف متفاوت نشان دهنده تفاوت معنی دار در سطح  $p \leq 0.05$  می‌باشد).



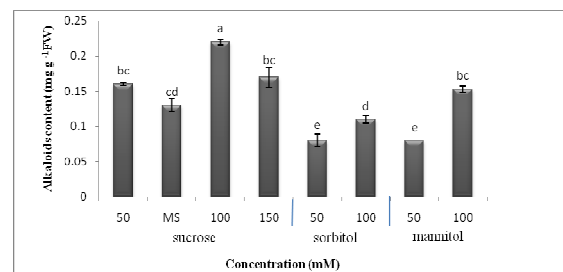
نمودار ۹ مقایسه نسبت اسکوپولامین به هیوسیامین در اندام هوایی و ریشه گیاهچه‌های شاہیزک تحت تاثیر غلظت‌های مختلف سوکروز، سوربیتول و مانیتول.

در میان تیمارهای مختلف، بیشترین محتوای اسکوپولامین در غلظت ۱۵۰ میلی‌مولاًر در اندام هوایی گیاهچه‌های تحت تیمار؛ سوکروز و سپس در اندام هوایی در تیمار ۱۵۰ میلی‌مولاًر سوربیتول مشاهده شد. بیشترین محتوای هیوسیامین در اندام هوایی گیاهچه‌های تیمار شده با غلظت ۱۰۰ میلی‌مولاًر سوربیتول دیده شد. کمترین محتوای اسکوپولامین در اندام هوایی و در غلظت ۵۰ میلی‌مولاًر مانیتول و کمترین محتوای هیوسیامین در ریشه گیاهچه‌های تیمار یافته با ۵۰ میلی‌مولاًر مانیتول مشاهده شد.

غلظت ۱۰۰ میلی‌مولاًر نسبت به غلظت ۵۰ میلی‌مولاًر این قند افزایش معنی‌داری نشان داد (نمودارهای ۶ و ۸). در بالاترین غلظت انتخابی مانیتول (۱۵۰ میلی‌مولاًر) به دلیل فقدان ریشه بررسی محتوای آلکالوئیدی در ریشه انجام نشد. با افزایش غلظت مانیتول در ریشه، نسبت اسکوپولامین به هیوسیامین افزایش یافت و بالاترین حد این نسبت در ریشه‌های تیمار یافته با غلظت ۱۰۰ میلی‌مولاًر مشاهده شد (نمودار ۹).

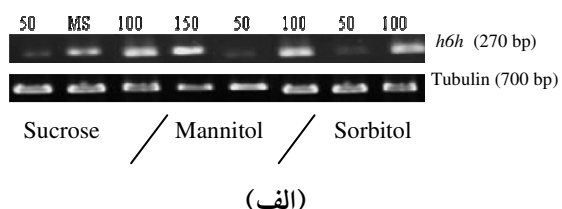


نمودار ۷ مقایسه محتوای هیوسیامین (mg g<sup>-1</sup> F. W) در ریشه گیاهچه‌های شاہیزک تحت تاثیر غلظت‌های مختلف سوکروز، سوربیتول و مانیتول (حروف متفاوت نشان دهنده تفاوت معنی دار در سطح ۰/۰۵ p≤ می‌باشد).



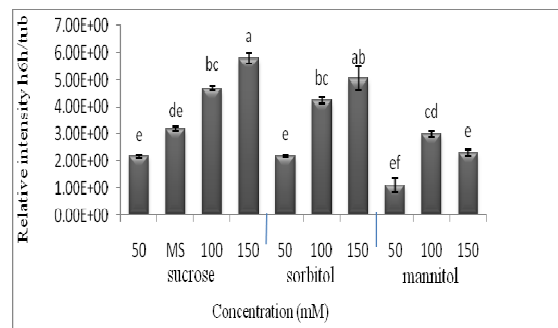
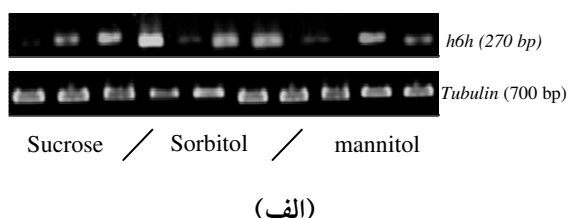
نمودار ۸ مقایسه محتوای اسکوپولامین (mg g<sup>-1</sup> F. W) در ریشه گیاهچه‌های شاہیزک تحت تاثیر غلظت‌های مختلف سوکروز، سوربیتول و مانیتول (حروف متفاوت نشان دهنده تفاوت معنی دار در سطح ۰/۰۵ p≤ می‌باشد).

در اندام هوایی گیاهچه‌های تیمار یافته با مانیتول تنها در غلظت ۱۰۰ میلی‌مولار افزایش بیان ژن *h6h* نسبت به سایر غلظت‌ها مشاهده شد و در غلظت ۵۰ و ۱۵۰ میلی‌مولار کاهش یافت (نمودار ۹). در ریشه گیاهچه‌ها نیز بیان ژن *h6h* در غلظت ۱۰۰ میلی‌مولار نسبت به غلظت ۵۰ میلی‌مولار افزایشی ناگهانی نشان داد (نمودار ۱۰). تحت تیمار مانیتول بیشترین و کمترین مقدار بیان ژن *h6h* به ترتیب در غلظت‌های ۱۰۰ میلی‌مولار در ریشه و ۵۰ میلی‌مولار در اندام هوایی دیده شد.



نمودار ۱۱ بررسی بیان ژن *h6h* در ریشه گیاهچه‌های شاییزک تحت تاثیر غلظت‌های مختلف سوکروز، مانیتول و سوربیتول (حروف متفاوت نشان دهنده تفاوت معنی دار در سطح  $p \leq 0.05$  می‌باشد)، (الف) طرح الکتروفورزی محصول PCR ژن *h6h* و توبولین به عنوان کنترل داخلی (ب) اندازه گیری مقدار کمی بیان ژن با استفاده از نرم افزار Image gage. S: سوربیتول، M: مانیتول.

در اندام هوایی گیاهچه‌های تیمار شده با سوربیتول، افزایش معنی داری در بیان ژن *h6h* در غلظت‌های ۱۰۰ و ۱۵۰ میلی‌مولار نسبت به غلظت ۵۰ میلی‌مولار مشاهده شد (نمودار ۹). بیشترین و کمترین مقدار بیان ژن *h6h* به ترتیب در غلظت‌های ۱۵۰ میلی‌مولار و ۵۰ میلی‌مولار در اندام هوایی بود. در ریشه نیز در غلظت ۱۰۰ میلی‌مولار افزایش ناگهانی معنی داری نسبت به غلظت ۵۰ میلی‌مولار مشاهده شد (نمودار ۱۰).



نمودار ۱۰ بررسی بیان ژن *h6h* در اندام هوایی گیاهچه‌های شاییزک تحت تاثیر غلظت‌های مختلف سوکروز، مانیتول و سوربیتول (حروف متفاوت نشان دهنده تفاوت معنی دار در سطح  $p \leq 0.05$  می‌باشد)، (الف) الکتروفورزی محصول PCR ژن *h6h* و توبولین به عنوان کنترل داخلی (ب) اندازه گیری مقدار کمی بیان ژن با استفاده از نرم افزار Image gage. S: سوربیتول، M: مانیتول.

شده به وسیله‌ی کربوهیدرات‌ها با تأثیر بر سنتز پوترسین سبب افزایش محتوای تروپان آکالالوییدها شده است. مطالعات نشان داده است که کربوهیدرات‌ها نه تنها به عنوان منابع کربن، بلکه به عنوان مولکول‌های سیگنانل در متابولیسم آکالالوییدها مؤثرند [۱۰]. براساس نتایج به دست آمده از این پژوهش، اثر افزایشی سوکروز بر محتوای اسکوپولاوامین بیشتر از سوربیتول و مانیتول بود. به نظر می‌رسد سوکروز علاوه بر این که به عنوان منبع کربن مورد استفاده گیاه قرار می‌گیرد، دارای نقشی ویژه به عنوان مولکول سیگنانل در متابولیسم آکالالوییدها است [۱۰]. در سال ۱۹۹۵، Mendoza و همکاران اظهار داشتند که بین تولید اسکوپولاوامین و فعالیت فتوستتری رابطه مستقیمی وجود دارد و در حقیقت تولید اسکوپولاوامین با افزایش سطح کلروفیل نسبت مستقیم دارد و می‌توان اینطور احتمال داد که فعالیت فتوستتری، فعال کننده مرحله‌ای از سنتز اسکوپولاوامین است که به وسیله زیماهی هیوسیامین ۶-بتا هیدروکسیلاز کاتالیز می‌شود یا سرعت تخریب اسکوپولاوامین را مهار می‌کند [۱۷]. از آنجا که در مطالعه حاضر، نسبت کلروفیل a به b با افزایش غلظت کربوهیدرات‌ها افزایش یافت، بنابراین این احتمال نیز وجود دارد که کربوهیدرات‌ها با افزایش نسبت کلروفیل a به b و افزایش فعالیت فتوستتری، باعث افزایش اسکوپولاوامین شده باشند.

در گیاهان و بسیاری از میکروارگانیسم‌ها، کربوهیدرات‌ها نه تنها به عنوان منابع کربن برای رشد مورد نیاز هستند، بلکه با تأثیر بر سیستم‌های حساس به کربوهیدرات، سبب تغییر در بیان برخی ژن‌ها می‌شوند. فراوانی یا کمبود کربوهیدرات‌ها می‌تواند سبب افزایش یا کاهش بیان ژن در گیاهان شود [۱۸]. در مطالعه حاضر،

#### ۴- بحث

یافته‌های این بررسی درباره تأثیر تیمار با کربوهیدرات‌ها بر رشد گیاهچه‌ها با یافته‌های Rothe و Drager (۲۰۰۲) مطابقت داشت. آن‌ها طی مطالعات خود گزارش کردند که گلوکز، فروکتوز، سوربیتول یا هر اجتماعی با غلظت مولی مساوی (mixture equimolar) از این دو ترکیب، نمی‌تواند جایگزین سوکروز در افزایش رشد گیاهچه شاهبیزک شود. به نظر می‌رسد که سوکروز به عنوان ماده غذایی، سریع‌تر از سایر کربوهیدرات‌ها به سلول گیاهی جذب می‌شود [۱۰]: در ضمن در میان غلظت‌های مختلف سوکروز نیز غلظت ۳۰ میلی‌گرم در لیتر که به طور معمول در محیط پایه MS به کار می‌رود، غلظت بهینه برای رشد است. از آنجایی که این محیط در سال ۱۹۶۲ توسط Skook و Murashige برای گیاه توتون از تیره سیب‌زمینی طراحی شد و گیاه شاهبیزک نیز از همین تیره است، به نظر می‌رسد به همین دلیل گیاه شاهبیزک نیز بیشترین رشد را در همان غلظت سوکروز تعیین شده به وسیله‌ی آن‌ها نشان داده باشد.

نتایج به دست آمده از پژوهش حاضر در زمینه تأثیر افزایش‌دهنده کربوهیدرات‌های سوربیتول، مانیتول و سوکروز، بر محتوای هیوسیامین و اسکوپولاوامین در اندام هوایی و ریشه گیاهچه‌های شاهبیزک مشابه یافته‌های Drager و Rothe در سال ۲۰۰۲ است که نشان دادند کربوهیدرات‌ها سبب افزایش تروپان آکالالوییدها در کشت ریشه شاهبیزک می‌شود. قندهایی نظیر مانیتول و سوربیتول به طور معمول به عنوان اوسموتیکوم در محیط کشت به کار می‌روند، از طرفی تنش اسمزی سبب افزایش سنتز پوترسین می‌شود که یکی از پیش‌سازهای مسیر سنتز تروپان آکالالوییدهای است. به نظر می‌رسد تنش اسمزی اعمال

## ۵- مراجع

- [1] Kang, S., Jung, H., Kang, Y., Yun, D., Bahk, J., Yang, J., Choi, M. (2004) Effects of methyl jasmonate and salicylic acid on the production of tropane alkaloids and the expression of PMT and H6H in adventitious root cultures of *Scopolia parviflora*; *Plant Science* 166: 745–751.
- [2] Kai, G., Chen, J., Li, I., Zhou, G., Zhou, L., Zhang, L., Chen, Y., Zhao, L., (2007) Molecular cloning and characterization of a New cDNA encoding hyoscyamine 6 $\beta$ -hydroxylase from Roots of *Anisodus acutangulus*; *Biochemistry and Molecular Biology* 40: 715-722.
- [3] Hashimoto, T., Nakajima, K., Ongena, G. and Yamada, Y. (1992) Two tropinone reductases with distinct stereospecificities from cultured roots of *hyoscyamus niger*; *Plant Physiology* 100: 836-845.
- [4] [4] Hashimoto, T., Matsuda, J., Yamada, Y. (1993) Two-step epoxidation of hyascynamine to scopolamine is catalyzed by bifunctional hyoscyamine 6 $\beta$  – hydroxylase; *FIBS* 329: 35-39.
- [5] Palazón, J., Moyano, E., Cusidó, R. M., Bonfill M., Oksman-Caldentey, K. -M., Piñol M. T. (2003) Alkaloid production

بیان ژن  $h6h$  با افزایش غلظت کربوهیدرات‌ها افزایش یافت. این نتایج پیشنهاد می‌کند که تأثیر کربوهیدرات‌ها به عنوان مولکول‌های سیگنال در متابولیسم آلکالوئیدها، احتمالاً از طریق تغییر میزان بیان ژن‌ها است [۱۰]. از طرفی، اثر تحریکی سوربیتول، مانیتول و سوکروز بر ژن  $h6h$  و افزایش بیان این ژن تا حدود زیادی با الگوی تولید اسکوپولامین مشابه است به‌طوری که در اندام هوایی و ریشه در هر غلظتی که میزان بیان ژن  $h6h$  کاهش یافته است محتوای اسکوپولامین نیز به همان نسبت کم شده و در هر غلظتی که میزان بیان ژن  $h6h$  افزایش یافته است محتوای اسکوپولامین نیز به همان نسبت سیر افزایشی داشته است به گونه‌ای که بیشترین میزان بیان ژن  $h6h$  و بیشترین محتوای اسکوپولامین در غلظت ۱۵۰ میلی‌مولار در اندام هوایی گیاهچه‌های تحت تیمار سوکروز مشاهده شد. آن‌چه از نتایج ما به دست آمد حاکی از آن است که ارتباط مستقیمی بین میزان بیان ژن  $h6h$  و تولید اسکوپولامین وجود دارد؛ بنابراین می‌توان احتمال داد که تنظیم‌های در سطح بیان، در فعالیت آنزیم  $H6H$  نقش بیشتری نسبت به سایر تنظیمات دارند. همچنین می‌توان از این ژن به عنوان عاملی کلیدی و تنظیم‌کننده‌ای مهم در تولید تروپانآلکالوئید اسکوپولامین نام برد. بر این اساس برای مشخص شدن چگونگی تنظیم مقدار تروپانآلکالوئیدهای نهایی و به‌ویژه اسکوپولامین به تحقیقات بیشتری از جمله بررسی آنزیم‌های پوترسین N-متیل ترانس‌فراز (PMT) و تروپینون ردوکتاز (TRI) و بیان ژن آن‌ها نیاز نیاز است. همچنین روش‌های مولکولی، مهندسی ژنتیک، بیوتکنولوژی و بیوشیمی کمک شایانی برای کشف مسیرهای انتقال پیام کربوهیدرات‌ها در فعال‌سازی متابولیسم آلکالوئیدها خواهد کرد.

- [10] Rothe, G., Drager B. (2002) tropan alkaloids- metabolic response to carbohydrate signal in root cultures of *Atropa belladonna*; Plant science 163: 979-985.
- [11] Palazón, J., Navarro-Ocaña, A., Hernandez-Vazquez, L., Mirjalili. M. H. (2008) Application of Metabolic Engineering to the Production of Scopolamine. Molecules, 13: 1722-1742.
- [12] Zabetakis I., Edwards R., Hagan O. (1999) Elicitation of tropan alkaloid biosynthesis in transformed root cultures of *Datura stramonium*; phytochemistry, 50: 53-56.
- [13] Matsuda J., Hashimoto T., Yamada Y. (1997) Analysis Of Active site Residues In Hyoscyamine 6P-HydroXylase; Plant Biotechnology 14: 51-57.
- [14] Murashige T., and Skoog F. (1962) A revised medium for rapid growth and bioassays with tobacco tissue cultures; Physiologia Plantarum 15: 473-497.
- [15] Arnon D. I. (1949) Copper enzymes in isolated chloroplast. Polyphenoloxidase in Beta vulgaris; Plant Physiology. 24: 1-15.
- [16] Flores H. E. and Galston A. W. (1982) Polyamines and plant stress: activation of in *Duboisia hybrid* hairy roots and plants overexpressing the *h6h* gene; Plant Science 165: 1289–1295.
- [6] El Jaber-Vazdekis N., Gonza lez C., Ravelo A. G, Za rate R. (2008) Cloning, characterization and analysis of expression profiles of a cDNA encoding a hyoscyamine 6b-hydroxylase (H6H) from *Atropa baetica* Willk. ; Plant Physiology and Biochemistry. 1–6.
- [7] Zhang L., Ding R., Chai Y., Bonfill M., Moyano E., Oksman-Caldentey K. M., Xu T., Pi Y. , Wang Z. , Zhang H. , Kai G. , Liao Z. , Sun X., and Tang K. (2004) Engineering tropane biosynthetic pathway in *Hyoscyamus niger* hairy root cultures; PNAS 101: 6786–6791.
- [8] Za'rate, R., El Jaber-Vazdekis, N., Medina, B., Ravelo, A. G. (2006) Tailoring tropane alkaloid accumulation in transgenic hairy roots of *Atropa baetica* by over-expressing the gene encoding hyoscyamine 6b-hydroxylase; Biotechnology Letters 28:1271–1277.
- [9] Matsuda, J., Okabe, S., Hashimoto, T., Yamada, Y. (1991) Molecular cloning of hyoscyamine GB-Hydroxylase, a 2-oxoglutarate-dependent dioxygenase, from cultured roots of *hyoscyamus niger*; Biological Chemistry 266: 9460-9464.

- [19] Roos R. W. and Lau-Cam C. (1986) General reversed-phase HPLC method for the separation of drugs using triethylamine as a competing base; Journal of chromatography 370: 403-418.
- [20] Suzuki K., Yun D. J., Chen X. Y., Yamada Y. and Hashimoto T. (1999) An *Atropa belladonna* hyoscyamine 6- $\beta$ hydroxylase gene is differentially expressed in the root pericycle and anthers; Plant Mol. Biol. 40;141-152.
- putrescine biosynthesis by osmotic shock; Science 217: 1259-1261.
- [17] Mendoza M. I. E. and Vargas L. V. M. (1995) Establishment and characterization of photosynthetic hairy root cultures of *Datura stramonium*; Plant cell, Tissue and organ culture 40: 197-208.
- [18] Koch K. E. (1996) Carbohydrate-modulated gene expression in plants; Plant Physiology; Plant Molecular Biology 47:509-40.